

Prowadzący instalację:

P4 Sp. z o. o.
ul. Wynalazek 1
02-677 Warszawa

Warszawa, 26 cze 2023

Adres do korespondencji:

P4 Sp. z o. o.
ul. Wynalazek 1,
02-677 Warszawa

Urząd Miasta Łodzi

Wydział Ochrony Środowiska i Rolnictwa

Przedłożenie informacji o zmianie danych w instalacji

o których mowa w przedłożeniu informacji dla LOD1071E z dnia 20 lip 2016

dotyczy: informacji o zmianie w zakresie danych w przedłożeniu informacji dla LOD1071E.

Adres zakładu, na którym terenie prowadzona jest eksploatacja instalacji:

90-001 Łódź, Paderewskiego 17, gm. Łódź-Górna, pow. Łódź

Podstawa prawna: ustawa z dnia 27 kwietnia 2001 r. Prawo ochrony środowiska, art. 152, ust 6, pkt 1, lit. c)

Niniejsza informacja zawiera wyłącznie dane, które uległy zmianie.

1) Oznaczenie prowadzącego instalację, jego adres zamieszkania lub siedziby.

Brak zmian.

2) Rodzaj i zakres prowadzonej działalności, w tym wielkość produkcji lub wielkość świadczonych usług.

Usługi telekomunikacyjne, transmisja danych: 1TB/doba.

3) Czas funkcjonowania instalacji (dni tygodnia i godziny).

Brak zmian.

4) Wielkość i rodzaj emisji.

Dane przed zmianą:

| L.p. | Nazwa anteny | Wysokość [m n.p.t.] | Rodzaj emisji | Równoważna moc promieniowana izotropowo | Azymut | Kąt pochylenia | Częstotliwość |
|------|--------------|------------------------|------------------|--|--------|-------------------|---------------|
|------|--------------|------------------------|------------------|--|--------|-------------------|---------------|

| | | | | | | | |
|----|-----------|------|-----|--------|------|------|----------|
| 1 | 11_DGLNTU | 29,4 | PEM | 1265 W | 54° | 0-9° | 900 MHz |
| 2 | 11_DGLNTU | 29,4 | PEM | 1953 W | 54° | 0-9° | 1800 MHz |
| 3 | 11_DGLNTU | 29,4 | PEM | 1782 W | 54° | 0-9° | 2100 MHz |
| 4 | 12_HV | 29,4 | PEM | 1197 W | 54° | 0-9° | 800 MHz |
| 5 | 12_HV | 29,4 | PEM | 3289 W | 54° | 2-9° | 2600 MHz |
| 6 | 21_DLNTU | 29,4 | PEM | 1265 W | 150° | 0-6° | 900 MHz |
| 7 | 21_DLNTU | 29,4 | PEM | 2965 W | 150° | 0-6° | 1800 MHz |
| 8 | 21_DLNTU | 29,4 | PEM | 2324 W | 150° | 0-6° | 2100 MHz |
| 9 | 22_HV | 29,4 | PEM | 1197 W | 150° | 0-6° | 800 MHz |
| 10 | 22_HV | 29,4 | PEM | 3289 W | 150° | 2-6° | 2600 MHz |
| 11 | 31_DLNTU | 29,4 | PEM | 1265 W | 260° | 0-6° | 900 MHz |
| 12 | 31_DLNTU | 29,4 | PEM | 2965 W | 260° | 0-6° | 1800 MHz |
| 13 | 31_DLNTU | 29,4 | PEM | 2324 W | 260° | 0-6° | 2100 MHz |
| 14 | 32_HV | 29,4 | PEM | 1197 W | 260° | 0-6° | 800 MHz |
| 15 | 32_HV | 29,4 | PEM | 3289 W | 260° | 2-6° | 2600 MHz |
| 16 | RL1 | 28 | PEM | 1413 W | 289° | | 80 GHz |

Dane po zmianie:

| L.p. | Nazwa anteny | Wysokość [m n.p.t.] | Rodzaj emisji | Równoważna moc promieniowana izotropowo | Azymut | Kąt pochylenia | Częstotliwość |
|------|--------------|------------------------|------------------|--|--------|-------------------|---------------|
| 1 | 11_GHLNTV | 29 | PEM | 2048 W | 54° | 0-10° | 800 MHz |
| 2 | 11_GHLNTV | 29 | PEM | 1132 W | 54° | 0-10° | 900 MHz |
| 3 | 11_GHLNTV | 29 | PEM | 3686 W | 54° | 2-12° | 1800 MHz |
| 4 | 11_GHLNTV | 29 | PEM | 3914 W | 54° | 2-12° | 2100 MHz |
| 5 | 11_GHLNTV | 29 | PEM | 3992 W | 54° | 2-12° | 2600 MHz |
| 6 | 21_GHLNTV | 29 | PEM | 2048 W | 150° | 0-10° | 800 MHz |
| 7 | 21_GHLNTV | 29 | PEM | 1132 W | 150° | 0-10° | 900 MHz |
| 8 | 21_GHLNTV | 29 | PEM | 3686 W | 150° | 2-12° | 1800 MHz |
| 9 | 21_GHLNTV | 29 | PEM | 3914 W | 150° | 2-12° | 2100 MHz |
| 10 | 21_GHLNTV | 29 | PEM | 3992 W | 150° | 2-12° | 2600 MHz |
| 11 | 31_GHLNTV | 29 | PEM | 2048 W | 260° | 0-10° | 800 MHz |
| 12 | 31_GHLNTV | 29 | PEM | 1132 W | 260° | 0-10° | 900 MHz |
| 13 | 31_GHLNTV | 29 | PEM | 3686 W | 260° | 2-12° | 1800 MHz |
| 14 | 31_GHLNTV | 29 | PEM | 3914 W | 260° | 2-12° | 2100 MHz |
| 15 | 31_GHLNTV | 29 | PEM | 3992 W | 260° | 2-12° | 2600 MHz |

5) Opis stosowanych metod ograniczania wielkości emisji.

Brak zmian.

6) Informacja, czy stopień ograniczania wielkości emisji jest zgodny z obowiązującymi przepisami.

Stopień ograniczenia wielkości emisji jest zgodny z obowiązującymi przepisami.

7) (uchylony)

-/-

8) Sprawozdanie z wykonanych pomiarów poziomów pól EM, o których mowa w art. 122a ust. 1 pkt 1.

Sprawozdanie nr 53/06/OŚ/2023- P4-W z dnia 19 cze 2023, Nr akredytacji PCA – AB 1630.

Koordinator OŚ

Podpis jest prawidłowy

[Redacted signature area]

ST



Laboratorium EMVO Sp. J. Urbański, Pawelak
ul. Jasna 1
00-013 Warszawa

tel. +48 22 780 29 64
e-mail: laboratorium@emvo.pl



AB 1630

Sprawozdanie z pomiarów pól elektromagnetycznych - środowisko nr 53/06/OŚ/2023- P4-W



| | |
|-------------------|--|
| Nr i nazwa stacji | LOD1071E |
| Adres | Łódź, Paderewskiego 17, pow. Łódź, woj. Łódzkie |
| Opracowanie | Specjalista ds. pomiarów |
| Autoryzacja | Kierownik Laboratorium |
| Podpis | Podpis jest prawidłowy Dokument podpisany przez [redacted] Data: 2023.06.25 21:55:06 Powód: Zatwierdzam dokum[redacted] |
| Data | 2023-06-19 |

Spis treści

| | |
|---|---|
| 1. Informacje ogólne..... | 3 |
| 2. Podstawa prawna..... | 3 |
| 3. Opis pomiarów..... | 3 |
| 4. Zróżnicowanie dopuszczalne poziomy pól elektromagnetycznych..... | 5 |
| 5. Charakterystyka źródeł PEM..... | 5 |
| 6. Wyniki pomiarów..... | 5 |
| 7. Stwierdzenie zgodności | 6 |
| 8. Oświadczenie..... | 7 |
| 9. Spis załączników..... | 8 |

3. Opis pomiarów

| | |
|---|---|
| Metodologia pomiarowa | Pomiary w oparciu o Rozporządzenie Ministra Klimatu z dnia 17 lutego 2020 r. w sprawie sposobów sprawdzania dotrzymania dopuszczalnych poziomów pól elektromagnetycznych w środowisku (Dz.U. 2022 poz. 2630). |
| Cel badań | Określenie wartości natężenia pola elektrycznego w miejscach dostępnych dla ludności. |
| Opis zestawu pomiarowego | Miernik Narda NBM 550, Sonda EF-6092, o zakresie pomiarowym 0,7 V/m – 300V/m pracująca w paśmie 0,1 – 90 GHz, świadectwo wydane przez Laboratorium Wzorców i Metrologii Pola Elektromagnetycznego, Instytut Telekomunikacji, Teleinformatyki i Akustyki Politechniki Wrocławskiej. Świadectwo ważne do 10.06.2024 r. Miernik Narda NBM 550, Sonda EF-6092 pracująca w zakresie temperatury -10°C - +50°C oraz wilgotności 5% - 95% Niepewność rozszerzona wynosi 58,8% przy poziomie ufności 95% z uwzględnieniem współczynnika rozszerzenia k=2. |
| Wyposażenie pomocnicze | Termohigrometr Bestone, Nr. inwentarzowy 03/WL, nr identyfikacyjny 1222436, typ: GM1362-EN-00, świadectwo wzorcowania z dn. 22.12.2015 r. wydane przez Laboratorium Pomiarowe „MUTECH”. Przymiar wstępowy STABILA, Nr. inwentarzowy 06/WL, nr identyfikacyjny 06WL, świadectwo wzorcowania z dn. 22.09.2021 r. wydane przez Zespół Laboratoriów wzorcujących Okręgowego Urzędu Miar w Gdyni. GPS Garmin 64s okresowo sprawdzany w punktach osnowy geodezyjnej klasy 3 na podstawie licencji punktu, zgodnie z procedurą sprawdzeń okresowych IS/PO-16-11/03. |
| Pomiary zostały wykonane | <ol style="list-style-type: none">1. na głównych i pomocniczych kierunkach pomiarowych, na kierunkach zbliżonych do azymutów anten oraz w dodatkowych pionach pomiarowych zgodnie z wymaganiami pkt 12, 13, 14 i 19 Rozporządzenia Ministra Klimatu z dnia 17 lutego 2020 r. (Dz.U. 2022 poz. 2630).2. na obszarze pomiarowym, dla którego, na podstawie uprzednio przeprowadzonych obliczeń stwierdzono w miejscach dostępnych dla ludności występowanie pól elektromagnetycznych o najwyższym poziomie, które pochodzą z badanej instalacji zgodnie z wymaganiami pkt 5 ppkt 2 oraz pkt 13 ppkt 1 Rozporządzenia Ministra Klimatu z dnia 17 lutego 2020 r. w sprawie sposobów sprawdzania dotrzymania dopuszczalnych poziomów pól elektromagnetycznych w środowisku (Dz.U. 2022 poz. 2630). Wyniki obliczeń nie uwzględniały parametrów pracy instalacji innych operatorów występujących na obiekcie bądź w obszarze pomiarowym.3. w miejscach dostępnych dla ludności.4. miejsca niedostępne podczas wykonywania pomiarów wskazane zostały w pkt 6 (tabeli wyniki pomiarów) |
| Szczególne warunki podczas wykonywania pomiarów | Pomiary wykonane zostały podczas obowiązywania w kraju stanu zagrożenia epidemicznego, zgodnie z art. 122a ust. 1b Ustawy z dnia 27 kwietnia 2001 r. – Prawo ochrony środowiska (Dz. U. z 2019 r. poz. 1396, z późn. zm.9)). |
| Warunki pracy urządzeń nadawczych | Tryb pracy eksploatacyjny. |

4. Zróźnicowanie dopuszczalne poziomy pól elektromagnetycznych.

Zakresy znajdują się w Dzienniku Ustaw z dnia 17 grudnia 2019 r. przedstawione są w tabeli nr 2 (Dz. U. z 2019r. poz. 2448).

| Parametr fizyczny | Składowa elektryczna E (V/m) | Składowa magnetyczna H (A/m) | Gęstość mocy S (W/m ²) |
|---|------------------------------|------------------------------|------------------------------------|
| Zakres Częstotliwości pola elektromagnetycznego | | | |
| od 400 MHz do 2000 MHz | $1,375 \times f^{0,5}$ | $0,0037 \times f^{0,5}$ | $f / 200$ |
| od 2 GHz do 300 GHz | 61 | 0,16 | 10 |

5. Charakterystyka źródeł PEM.

Zgodnie z informacją otrzymaną od Klienta pomiary zostały wykonane przy ustawieniach pochylenia anten zgodnych z pkt. 13, ppkt 2 Rozporządzenia Ministra Klimatu z dnia 17 lutego 2020 roku.

Tabela 1. Anteny sektorowe - dane otrzymane od klienta

| Charakterystyka promieniowania | | kierunkowa | | | | | | | | | | | | | | |
|---------------------------------|---|---------------------------------|------------|------------|------------|------------------|------------|------------|------------|------------------|------------|------------|------------|------------|------------|------------|
| Rzeczywisty czas pracy [h/dobę] | | 24 | | | | | | | | | | | | | | |
| Rodzaj wytwarzanego pola | | stacjonarne | | | | | | | | | | | | | | |
| L p | Wyszczególnienie | sektor 1 | | | | sektor 2 | | | | sektor 3 | | | | | | |
| | | Nadajnik stacji bazowej: | | | | | | | | | | | | | | |
| 1 | Typ / Producent | DBS / SRAN Huawei | | | | | | | | | | | | | | |
| 2 | Częstotliwość (pasmo) MHz | 2600 | 2100 | 1800 | 900 | 800 | 2600 | 2100 | 1800 | 900 | 800 | 2600 | 2100 | 1800 | 900 | 800 |
| 3 | Maksymalna moc nadawana na sektor [dBm] | 52,04 | 52,04 | 52,04 | 46,02 | 49,03 | 52,04 | 52,04 | 52,04 | 46,02 | 49,03 | 52,04 | 52,04 | 52,04 | 46,02 | 49,03 |
| Obciążenie: | | | | | | | | | | | | | | | | |
| 1 | Typ anteny | Huawei ASI4517R3 | | | | Huawei ASI4517R3 | | | | Huawei ASI4517R3 | | | | | | |
| 2 | Producent anteny | Huawei | | | | Huawei | | | | Huawei | | | | | | |
| 3 | Nazwa anteny | 11_GH LNTV | 11_GH LNTV | 11_GH LNTV | 11_GH LNTV | 11_GH LNTV | 21_GH LNTV | 21_GH LNTV | 21_GH LNTV | 21_GH LNTV | 21_GH LNTV | 31_GH LNTV | 31_GH LNTV | 31_GH LNTV | 31_GH LNTV | 31_GH LNTV |
| 4 | Ilość anten | 1 | | | | 1 | | | | 1 | | | | | | |
| 5 | Azymut | 54 | | | | 150 | | | | 260 | | | | | | |
| 6 | Zakres kątów pochylenia anten [°] | 2-12 | 2-12 | 2-12 | 0-10 | 0-10 | 2-12 | 2-12 | 2-12 | 0-10 | 0-10 | 2-12 | 2-12 | 2-12 | 0-10 | 0-10 |
| 7 | Wysokość zainst. n.p.t. [m] | 29,00 | | | | 29,00 | | | | 29,00 | | | | | | |
| 8 | EIRP [W] | 14772 | | | | 14772 | | | | 14772 | | | | | | |

Tabela 2. Anteny radioliniowe- dane otrzymane od klienta

Brak anten

6. Wyniki pomiarów.

Wyniki pomiarów pól elektromagnetycznych dla celów ochrony środowiska przedstawia poniższa tabela. Piony pomiarowe zostały przedstawione w zał. 2.

| Nr PP | Pole-E [V/m] | Pole-E, +U [V/m] | Pole-H [A/m] | Pole-H +U [A/m] | Wys. pomiaru [m] | Opis pionu | Uwagi | WM _E | WM _H |
|-------|--------------|------------------|--------------|-----------------|------------------|--------------------------------|--|-----------------|-----------------|
| 1 | 1,8 | 2,86 | 0,005 | 0,008 | 0,3-2,0 | N:51°43'42.8" E:19°27'31.3" | otoczenie stacji bazowej - 50m wzdłuż gł. osi promieniowania - GKP | 0,102 | 0,104 |
| 2 | 1,3 | 2,06 | 0,003 | 0,005 | 0,3-2,0 | N:51°43'43.7" E:19°27'33.3" | otoczenie stacji bazowej - 100m wzdłuż gł. osi promieniowania - GKP | 0,074 | 0,075 |
| 3 | 1,2 | 1,91 | 0,003 | 0,005 | 0,3-2,0 | N:51°43'44.8" E:19°27'35.6" | otoczenie stacji bazowej - 150m wzdłuż gł. osi promieniowania - GKP | 0,068 | 0,069 |
| 4 | 0,7* | 1,27 | 0,002 | 0,003 | 0,3-2,0 | N:51°43'45.7" E:19°27'37.8" | otoczenie stacji bazowej - 200m wzdłuż gł. osi promieniowania - GKP | 0,045 | 0,046 |
| 5 | 0,9 | 1,43 | 0,002 | 0,004 | 0,3-2,0 | N:51°43'46.6" E:19°27'39.7" | otoczenie stacji bazowej - 250m wzdłuż gł. osi promieniowania - GKP | 0,051 | 0,052 |
| 6 | 0,7* | 1,27 | 0,002 | 0,003 | 0,3-2,0 | N:51°43'47.4" E:19°27'40.9" | otoczenie stacji bazowej - 290m wzdłuż gł. osi promieniowania - GKP | 0,045 | 0,046 |
| 7 | 0,8 | 1,27 | 0,002 | 0,003 | 0,3-2,0 | N:51°43'39.2" E:19°27'31.7" | otoczenie stacji bazowej - 100m wzdłuż gł. osi promieniowania - GKP | 0,045 | 0,046 |
| 8 | 0,7* | 1,27 | 0,002 | 0,003 | 0,3-2,0 | N:51°43'37.7" E:19°27'33.1" | otoczenie stacji bazowej - 150m wzdłuż gł. osi promieniowania - GKP | 0,045 | 0,046 |
| 9 | 0,7* | 1,27 | 0,002 | 0,003 | 0,3-2,0 | N:51°43'36.2" E:19°27'34.4" | otoczenie stacji bazowej - 200m wzdłuż gł. osi promieniowania - GKP | 0,045 | 0,046 |
| 10 | 0,7* | 1,27 | 0,002 | 0,003 | 0,3-2,0 | N:51°43'34.9" E:19°27'35.5" | otoczenie stacji bazowej - 250m wzdłuż gł. osi promieniowania - GKP | 0,045 | 0,046 |
| 11 | 0,7* | 1,27 | 0,002 | 0,003 | 0,3-2,0 | N:51°43'33.8" E:19°27'36.6" | otoczenie stacji bazowej - 290m wzdłuż gł. osi promieniowania - GKP | 0,045 | 0,046 |
| 12 | 1,9 | 3,02 | 0,005 | 0,008 | 0,3-2,0 | N:51°43'41.5" E:19°27'26.3" | otoczenie stacji bazowej - 50m wzdłuż gł. osi promieniowania - GKP | 0,108 | 0,110 |
| 13 | 1,0 | 1,59 | 0,003 | 0,004 | 0,3-2,0 | N:51°43'41.4" E:19°27'23.9" | otoczenie stacji bazowej - 100m wzdłuż gł. osi promieniowania - GKP | 0,057 | 0,058 |
| 14 | 0,8 | 1,27 | 0,002 | 0,003 | 0,3-2,0 | N:51°43'41.2" E:19°27'21.4" | otoczenie stacji bazowej - 150m wzdłuż gł. osi promieniowania - GKP | 0,045 | 0,046 |
| 15 | 0,7* | 1,27 | 0,002 | 0,003 | 0,3-2,0 | N:51°43'40.9" E:19°27'18.7" | otoczenie stacji bazowej - 200m wzdłuż gł. osi promieniowania - GKP | 0,045 | 0,046 |
| 16 | 0,7* | 1,27 | 0,002 | 0,003 | 0,3-2,0 | N:51°43'40.7" E:19°27'16.1" | otoczenie stacji bazowej - 250m wzdłuż gł. osi promieniowania - GKP | 0,045 | 0,046 |
| 17 | 0,7* | 1,27 | 0,002 | 0,003 | 0,3-2,0 | N:51°43'40.5" E:19°27'14.5" | otoczenie stacji bazowej - 290m wzdłuż gł. osi promieniowania - GKP | 0,045 | 0,046 |
| 18 | 1,1 | 1,75 | 0,003 | 0,005 | 0,3-2,0 | N:51°43'42.2" E:19°27'33.3" | otoczenie stacji bazowej - GKP | 0,062 | 0,063 |
| 19 | 1,2 | 1,91 | 0,003 | 0,005 | 0,3-2,0 | N:51°43'41.8" E:19°27'31.1" | otoczenie stacji bazowej - GKP | 0,068 | 0,069 |
| 20 | 0,9 | 1,43 | 0,002 | 0,004 | 0,3-2,0 | N:51°43'40.2" E:19°27'31.9" | otoczenie stacji bazowej - GKP | 0,051 | 0,052 |
| 21 | 0,9 | 1,43 | 0,002 | 0,004 | 0,3-2,0 | N:51°43'39.5" E:19°27'30.3" | otoczenie stacji bazowej - GKP | 0,051 | 0,052 |
| 22 | 1,1 | 1,75 | 0,003 | 0,005 | 0,3-2,0 | N:51°43'40.6" E:19°27'28.5" | otoczenie stacji bazowej - GKP | 0,062 | 0,063 |
| 23 | 0,7* | 1,27 | 0,002 | 0,003 | 0,3-2,0 | N:51°43'41.9" E:19°27'25.5" | otoczenie stacji bazowej - GKP | 0,045 | 0,046 |
| 24 | 1,2 | 1,91 | 0,003 | 0,005 | 0,3-2,0 | N:51°43'42.8" E:19°27'28.6" | otoczenie stacji bazowej - GKP | 0,068 | 0,069 |
| 25 | 1,2 | 1,91 | 0,003 | 0,005 | 0,3-2,0 | N:51°43'43.8" E:19°27'30.6" | otoczenie stacji bazowej - GKP | 0,068 | 0,069 |
| A | 1,5 | 2,38 | 0,004 | 0,006 | 0,3-2,0 | N:51°43'41.9" E:19°27'29.6" | Paderewskiego 17, pomiar przed budynkiem -DPP | 0,085 | 0,087 |
| B | 1,7 | 2,70 | 0,005 | 0,007 | 0,3-2,0 | N:51°43'41.2" E:19°27'31.1" | Paderewskiego 19, pomiar przed budynkiem -DPP | 0,096 | 0,098 |
| C | 0,7* | 1,27 | 0,002 | 0,003 | 0,3-2,0 | N:51°43'40.2" E:19°27'32.9" | Paderewskiego 21, pomiar przed budynkiem -DPP | 0,045 | 0,046 |
| D | 1,1 | 1,75 | 0,003 | 0,005 | 0,3-2,0 | N:51°43'39.9" E:19°27'29.2" | Astronautów 7, pomiar przed budynkiem -DPP | 0,062 | 0,063 |
| E | 1,6 | 2,54 | 0,004 | 0,007 | 0,3-2,0 | N:51°43'40.8" E:19°27'27.4" | Astronautów 5, pomiar przed budynkiem -DPP | 0,091 | 0,092 |
| F | 1,1 | 1,75 | 0,003 | 0,005 | 0,3-2,0 | N:51°43'41.6" E:19°27'25.7" | Astronautów 3, pomiar przed budynkiem -DPP | 0,062 | 0,063 |

„Bez pisemnej zgody Laboratorium niniejsze sprawozdanie nie może być powielane inaczej, jak tylko w całości. Ponadto wyniki dotyczą tylko badanych obiektów przywołanych w niniejszym sprawozdaniu z badań”
53/06/OŚ/2023– P4-W

| | | | | | | | | | |
|---|------|------|-------|-------|---------|--------------------------------|--|-------|-------|
| G | 1,1 | 1,75 | 0,003 | 0,005 | 0,3-2,0 | N:51°43'42.3" E:19°27'24.1" | Astronautów 1, pomiar przed budynkiem -DPP | 0,062 | 0,063 |
| H | 0,7* | 1,27 | 0,002 | 0,003 | 0,3-2,0 | N:51°43'43.4" E:19°27'26.0" | Paderewskiego 13, pomiar przed budynkiem -DPP | 0,045 | 0,046 |
| I | 1,7 | 2,70 | 0,005 | 0,007 | 0,3-2,0 | N:51°43'42.5" E:19°27'27.6" | Paderewskiego 15, pomiar przed budynkiem -DPP | 0,096 | 0,098 |
| J | 0,7* | 1,27 | 0,002 | 0,003 | 0,3-2,0 | N:51°43'38.0" E:19°27'33.6" | Paderewskiego 23, pomiar przed budynkiem -DPP | 0,045 | 0,046 |
| K | 0,7* | 1,27 | 0,002 | 0,003 | 0,3-2,0 | N:51°43'35.9" E:19°27'34.8" | Astronautów 15, pomiar przed budynkiem -DPP | 0,045 | 0,046 |
| L | 0,7* | 1,27 | 0,002 | 0,003 | 0,3-2,0 | N:51°43'35.2" E:19°27'36.2" | Astronautów 17, pomiar przed budynkiem -DPP | 0,045 | 0,046 |
| M | 0,8 | 1,27 | 0,002 | 0,003 | 0,3-2,0 | N:51°43'40.7" E:19°27'20.5" | Zaolziańska 10, pomiar przed budynkiem -DPP | 0,045 | 0,046 |
| N | 0,7* | 1,27 | 0,002 | 0,003 | 0,3-2,0 | N:51°43'41.4" E:19°27'18.6" | Zaolziańska 35, pomiar przed budynkiem -DPP | 0,045 | 0,046 |
| O | 1,1 | 1,75 | 0,003 | 0,005 | 0,3-2,0 | N:51°43'40.7" E:19°27'15.9" | Zaolziańska 47, pomiar przed budynkiem -DPP | 0,062 | 0,063 |
| P | 1,1 | 1,75 | 0,003 | 0,005 | 0,3-2,0 | N:51°43'42.8" E:19°27'32.9" | Paderewskiego 8, pomiar przed budynkiem -DPP | 0,062 | 0,063 |
| R | 1,4 | 2,22 | 0,004 | 0,006 | 0,3-2,0 | N:51°43'43.9" E:19°27'32.9" | Strycharska 3, pomiar przed budynkiem -DPP | 0,079 | 0,081 |
| S | 1,6 | 2,54 | 0,004 | 0,007 | 0,3-2,0 | N:51°43'44.9" E:19°27'36.3" | Strycharska 5, pomiar przed budynkiem -DPP | 0,091 | 0,092 |
| T | 0,7* | 1,27 | 0,002 | 0,003 | 0,3-2,0 | N:51°43'46.7" E:19°27'40.2" | Ciołkowskiego 14/16/18/20, pomiar przed budynkiem -DPP | 0,045 | 0,046 |
| U | 0,7* | 1,27 | 0,002 | 0,003 | 0,3-2,0 | N:51°43'36.9" E:19°27'33.1" | Astronautów 13, pomiar przed budynkiem -DPP | 0,045 | 0,046 |

Wynik pomiaru pole - E [V/m] - maksymalna wartość chwilowa zmierzona w danym pionie pomiarowym (uśredniona na podstawie punktu 11 załącznika do Rozporządzenia Ministra Klimatu z dnia 17 lutego 2020 r. w sprawie sposobów sprawdzania dotrzymania dopuszczalnych poziomów pól elektromagnetycznych w środowisku (Dz.U. 2022 poz. 2630)). Zgodnie z pkt. 7 załącznika do Rozporządzenia Ministra Klimatu z dnia 17 lutego 2020 r. w sprawie sposobów sprawdzania dotrzymania dopuszczalnych poziomów pól elektromagnetycznych w środowisku (Dz.U. 2020 poz. 258, Dz.U. 2022 poz. 1121) nie stosuje się poprawek pomiarowych.

Przyjęto najniższą dopuszczalną wartość składowej elektrycznej pola dla objętego pomiarami zakresu częstotliwości $\min(ME_{gr}) = 28 \text{ V/m}$ oraz składowej magnetycznej $\min(MH_{gr}) = 0,073 \text{ A/m}$.

* - wartość zmierzona poniżej zakresu akredytacji. Do obliczeń przyjęto wartość zgodną z dolną granicą akredytowanego zakresu pomiarowego metody.

GKP - główne kierunki pomiarowe

PKP - pomocnicze kierunki pomiarowe

DPP - dodatkowe punkty pomiarowe

PP - pion pomiarowy

U - niepewność pomiarowa rozszerzona, przy poziomie ufności 95%, z uwzględnieniem współczynnika rozszerzenia $k=2$

WM_E - wartość wskaźnikowa poziomu emisji pól elektromagnetycznych dla miejsc dostępnych dla ludności dla składowej elektrycznej pola

WM_H - wartość wskaźnikowa poziomu emisji pól elektromagnetycznych dla miejsc dostępnych dla ludności dla składowej magnetycznej pola

7. Stwierdzenie zgodności

Na podstawie wytycznych podanych w Rozporządzeniu Ministra Zdrowia z dnia 17 grudnia 2019 r. w sprawie dopuszczalnych poziomów pól elektromagnetycznych w środowisku (Dz.U. 2019 poz. 2448) oraz sposobów sprawdzania dotrzymania tych poziomów zgodnie z Rozporządzeniem Ministra Klimatu z dnia 17 lutego 2020 r. w sprawie sposobów sprawdzania dotrzymania dopuszczalnych poziomów pól elektromagnetycznych w środowisku (Dz.U. 2022 poz. 2630), dotyczących źródła wymagań, które muszą być spełnione, w oparciu o zasadę podejmowania decyzji zgodną z pkt. 26 Rozporządzenia Ministra Klimatu z dnia 17 lutego 2020 r. (Dz.U. 2022 poz. 2630), na podstawie wyników pomiarów pól elektromagnetycznych wykonanych w dniu 19.06.2023 stwierdzono, że wszystkie wyniki przeprowadzonych pomiarów w danym obszarze pomiarowym oraz wyznaczone na tej podstawie wskaźniki WME oraz WMH są mniejsze od wartości dopuszczalnych – zgodnie z przepisami wydanymi na podstawie art. 122 ust. 1 ustawy z dnia 27 kwietnia 2001 r. – Prawo ochrony środowiska – załącznikiem do

„Bez pisemnej zgody Laboratorium niniejsze sprawozdanie nie może być powielane inaczej, jak tylko w całości. Ponadto wyniki dotyczą tylko badanych obiektów przywołanych w niniejszym sprawozdaniu z badań”

Rozporządzenia Ministra Klimatu i Środowiska z dnia 17 lutego 2020 r. w sprawie sposobów sprawdzania dotrzymywania dopuszczalnych poziomów pól elektromagnetycznych w środowisku (Dz.U. 2022 poz. 2630, pkt 26).

8. Oświadczenie.

Wyniki badania odnoszą się wyłącznie do badanego obiektu.

Bez pisemnej zgody sprawozdanie nie może być powielane inaczej, jak tylko w całości.

Uwagi i zastrzeżenia przyjmowane są w formie pisemnej.

9. Spis załączników.

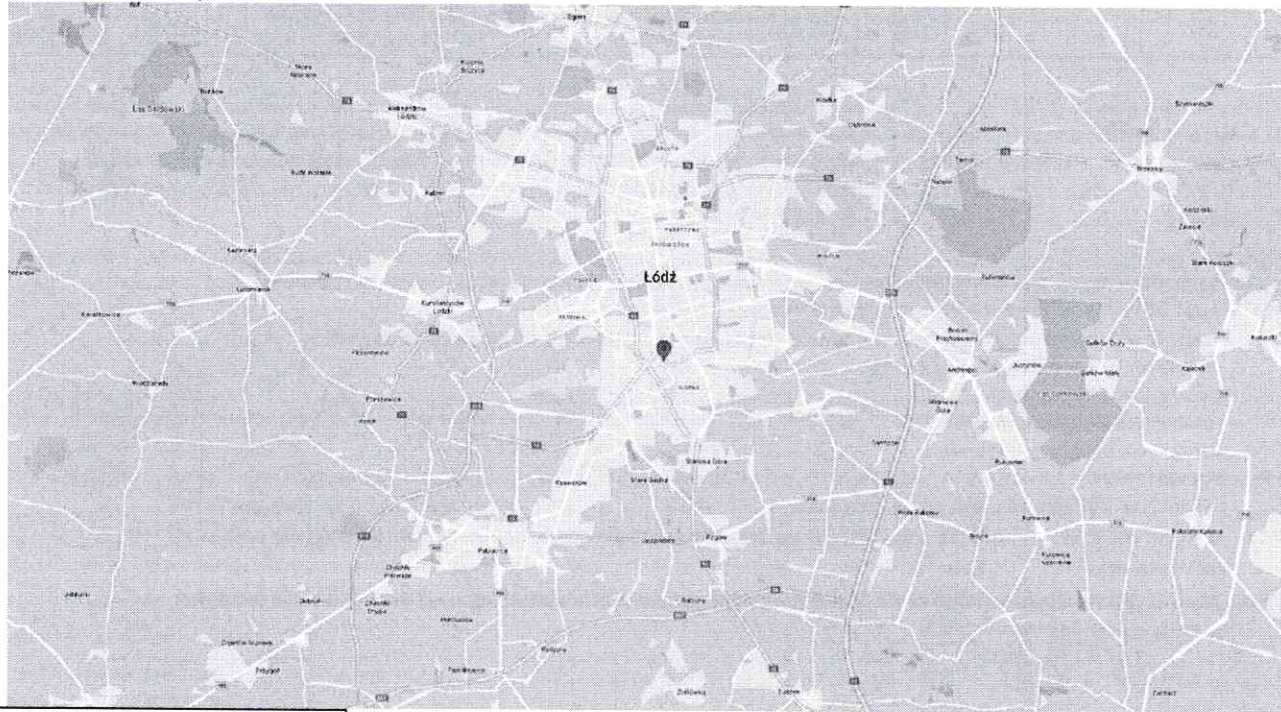
Załącznik 1. Lokalizacja obiektu.

Załącznik 2. Widok pionów pomiarowych

Załącznik 3. Załączniki graficzne

Koniec sprawozdania

Załącznik 1. Lokalizacja obiektu



| Współrzędne geograficzne | |
|--------------------------|---------------|
| długość: | 19°27'29.15"E |
| szerokość: | 51°43'41.88"N |

Zař. 2. Widok pionów pomiarowych



„Bez pisemnej zgody Laboratorium niniejsze sprawozdanie nie może być powielane inaczej, jak tylko w całości. Ponadto wyniki dotyczą tylko badanych obiektów przywołanych w niniejszym sprawozdaniu z badań”
53/06/OŚ/2023–P4-W

Załącznik 3. Załączniki graficzne.

